

## ارائه یک رهیافت جدید مبتنی بر گراف وابستگی بین فراخوانی‌های سیستمی برای استخراج الگوهای رفتاری مخرب

سعید پارسا<sup>۱\*</sup>، حسن سیفی<sup>۲</sup>، محمدهادی علانیان<sup>۳</sup>

۱- دانشیار، ۲- کارشناسی ارشد، ۳- دانشجوی دکتری، دانشگاه علم و صنعت ایران

(دریافت: ۹۴/۱۱/۲۴، پذیرش: ۹۵/۰۵/۱۱)

### چکیده

افزایش سریع بدافزارها موجب ناکارآمدی راه کارهای شناسایی مبتنی بر امضا و بالعکس مطرح شدن راه کارهای کشف مبتنی بر رفتار شده است. در حالی که راه کارهای کشف مبتنی بر رفتار، راه حل‌های امیدوارکننده‌ای در برابر رشد بی‌رویه تولید گونه‌های مختلف از یک خانواده بدافزار هستند اما همچنان از نرخ مثبت کاذب بالایی در کشف بدافزار برخوردار هستند. برای غلبه بر این مشکل امروزه محققان به دنبال شناسایی الگوهای رفتاری مخربی هستند که به نوعی نشان‌دهنده رفتارهای مخرب ذاتی مربوط به همه نمونه‌های یک خانواده بدافزار باشند. در این مقاله ما یک راه کار نوین مبتنی بر کاوش زیر گراف‌های مهم و تعیین زیر گراف‌های تفکیک‌پذیر، برای استخراج دقیق الگوهای رفتاری مخرب موجود در هر خانواده بدافزار، پیشنهاد کرده‌ایم. نتایج حاصل از ارزیابی‌های ما نشان می‌دهد که راه کار ما توانسته است الگوهای رفتاری مخرب متمایزکننده موجود در هر خانواده بدافزار، که قابلیت تمیز دادن برنامه‌های مخرب از برنامه‌های سالم را دارند، را با کسب دقت ۹۴٪ در شناسایی بدافزارهای ناشناخته و نرخ خطای کاذب صفر، در مقایسه با نرخ کشف ۵۵٪ در ضد بدافزارهای تجاری و نرخ کشف ۸۶٪ در بهترین کشف‌کننده رفتاری ارائه شده تاکنون، استخراج کند.

**واژه‌های کلیدی:** گراف رفتار، گراف وابستگی بین فراخوانی‌های سیستمی، الگوهای رفتاری مخرب، زیر گراف‌های متمایزکننده، کاوش زیر

گراف مهم

### ۱- مقدمه

نشان می‌دهند. به این ترتیب، یک نسخه مبهم‌شده از بدافزار قادر است تا مدت‌ها از دید کشف‌کنندگان مبتنی بر امضا در امان بماند (تا زمانی که یک امضاء جدید برای آن نسخه در پایگاه داده ایجاد شود).

به منظور غلبه بر این مشکل و تأمین حفاظت پیش فعال و بلادرنگ، امروزه محققان به دنبال توسعه راه کارهای کشف مبتنی بر رفتار رفته‌اند. این راه کارها تشخیص بدافزار را از طریق مقایسه رفتار برنامه‌ها با رفتارهای مخرب از پیش شناخته شده انجام می‌دهند. اگرچه راه کارهای کشف مبتنی بر رفتار، راه حل‌های امیدوارکننده در برابر رشد بی‌رویه تولید گونه‌های مختلف از یک خانواده بدافزار هستند، اما همچنان نرخ مثبت کاذب بالایی در کشف بدافزار دارند [۶].

در این مقاله راه کاری نوین به منظور استخراج الگوهای رفتاری مخرب موجود در هر خانواده بدافزار ارائه شده است، به گونه‌ای هر یک از این الگوها بایستی به اندازه کافی کلی انتخاب شود تا بتواند نسخه‌های مبهم‌شده مربوط به آن رفتار مخرب را نیز شناسایی کند و هم این که به اندازه کافی ویژه انتخاب شود تا منجر به ایجاد نرخ خطای مثبت کاذب نشوند. روش ما، مبتنی

رشد بی‌رویه تولید نسخه‌های تغییر شکل یافته بدافزارها، استفاده از راه کارهای کشف مبتنی بر امضا را کاملاً ناکارآمد کرده است. بر طبق نتایج مستند شده شرکت کسپرسکی در سال ۲۰۱۳ نشان می‌دهد که روزانه بیش از ۳۱۵۰۰۰ نمونه بدافزار جدید تولید می‌شود که البته عملکرد و رفتار آن‌ها از پیش وجود داشته است [۱]. در حقیقت، امروزه اکثر بدافزار نویسان از راه کارهای گریز پیچیده‌ای (همچون مبهم‌سازی کد<sup>۱</sup> [۲]، فشردن سازی کد<sup>۲</sup> [۳]، چندریختی<sup>۳</sup> [۴] و دگرگونی<sup>۴</sup> [۵-۴] در سطح کد) برای تولید نسخه‌های جدید از یک بدافزار استفاده می‌کنند. این نسخه‌های جدید، از لحاظ نحوی<sup>۵</sup> باهم متفاوت ولی از لحاظ معنایی<sup>۶</sup> باهم یکسان هستند و همچنان همان رفتار مخرب اولیه را از خود

\* رایانامه نویسنده مسئول: Parsa@iust.ac.ir

- 1- Code obfuscation
- 2- Code Packing
- 3- Polymorphism
- 4- Metamorphism
- 5- Syntactically
- 6- Syntactically

کشف بدافزار خود را بر اساس الگوهای بایستی کد برنامه (امضاء بایستی) انتخاب می‌کنند، به راحتی به وسیله راه کارهای مبهم سازی و چندریختی کد فریب می‌خورند. چرا که راه کارهای مبهم سازی قادرند به آسانی امضای بایستی برنامه‌ها را در حالی تغییر دهند که معنای واقعی برنامه تغییری نکند [۷].

در همین راستا به منظور ایجاد یک مدل رفتاری مؤثر، کشف کنندگانی نیز نمود پیدا کردند [۸-۷] که از تحلیل پیچیده ایستا، برای استخراج معنای یک برنامه، به منظور شناسایی بدافزار استفاده می‌کنند. بنابراین از آنجا که تمرکز این راه کارها بر معنای واقعی یک برنامه است، در نتیجه برای نمونه بدافزارهای که از راه کارهای ساده مبهم سازی<sup>۳</sup> و چندریختی کد برای تغییر ظاهر خودشان استفاده می‌کنند، خیلی مؤثر هستند [۹]. اما مشکل اصلی راه کارهای ایستا این است که رسیدن به رفتار واقعی برنامه در سطح ایستا کاملاً دشوار است. این دشواری با رمزنگاری<sup>۴</sup> و خود-تغییری<sup>۵</sup> در حین اجرا، تشدید خواهد شد. علاوه بر این، تحلیلی پر هزینه است، لذا برای جایگزینی با کشف کنندگان ضد-بدافزاری تجاری امروزی که نیازمند پوشش سریع تعداد زیادی فایل است، مناسب نیست.

به طور کلی، روش‌های تحلیل ایستا برای مدل سازی رفتار بدافزار مناسب نیستند، و به همین دلیل است که امروزه محققان به ارائه و توسعه ابزارهای تحلیل پویا، که رفتار برنامه را در حین اجرا زیر نظر می‌گیرند، پرداخته‌اند [۹]. بر این اساس، راه کارهای دیگری در زمینه تحلیل پویای بدافزار ایجاد شده‌اند، که بازم در کشف بدافزار خیلی مؤثر عمل نمی‌کنند. این راه کارها، رفتار برنامه را به صورت دنباله‌ای از فراخوانی‌های سیستمی<sup>۶</sup>، که یک برنامه در زمان اجرا درخواست می‌کند، مدل می‌کنند. در صورتی که در تشکیل این دنباله وابستگی بین فراخوانی‌های سیستمی لحاظ نشود، یعنی فراخوانی‌های سیستمی به صورت مستقل در نظر گرفته شوند، با تغییر ترتیب<sup>۷</sup> فراخوانی‌های سیستمی یا درج فراخوانی‌های سیستمی نامربوط<sup>۸</sup> در این دنباله، می‌توان این راه کارها را شکست داد [۱۰-۱۲].

کولبیچ و همکاران [۱۳]، به بررسی مشکل حاصل از نمایش خصوصیات رفتاری برنامه بر اساس دنباله اجرایی<sup>۹</sup> پرداختند. آن‌ها از یک راه کار مشابه با روش پیشنهاد شده در این مقاله، برای نمایش رفتار برنامه بر اساس گراف، استفاده کردند. با این تفاوت که در راه کار آن‌ها، از زبان پیچیده تری برای توصیف قیود، بر روی وابستگی‌ها، استفاده شده است. اساس کار این رهیافت مبتنی بر

بر کاوش زیرگراف‌های مهم و تعیین زیرگراف‌های است که بیشترین قابلیت تفکیک پذیری را در تمیز دادن بدافزارهای یک خانواده از مجموعه برنامه‌های سالم، بر اساس تابع آزمون پیشنهادی H، دارند. که شامل مراحل اساسی زیر است:

- دسته بندی بدافزارها بر اساس عملکرد آن‌ها
- استخراج گراف‌های رفتار از برنامه‌های مخرب موجود در هر خانواده و مجموعه برنامه‌های سالم بر اساس سه نوع وابستگی بین فراخوانی‌های سیستمی
- استفاده از یک الگوریتم آماری مبتنی بر کاوش بردار ویژگی، به منظور کاوش زیر گراف‌های مهم
- انتخاب K زیر گراف به عنوان الگوهای مخرب، که بیشترین قابلیت تفکیک پذیری را بر اساس تابع آزمون پیشنهادی H دارند.

نتایج حاصل از ارزیابی‌ها نشان داده است که روش پیشنهادی ما توانسته است تمام ویژگی‌های ذاتی مخرب موجود در هر خانواده بدافزار، که برخی از آن‌ها توسط ضد-بدافزارهای امنیتی نیز گزارش شده‌اند، را به درستی شناسایی کند.

در ادامه و در قسمت دوم، چندین راه کار مهم و قابل قبول در زمینه کشف بدافزار مبتنی بر رفتار برنامه را مورد بررسی قرار داده‌ایم. در قسمت سوم، چارچوب کلی روش پیشنهادی و سپس روال کار را به صورت جزئی تشریح کرده‌ایم. در قسمت چهارم، ویژگی‌های محیط پیاده سازی و مجموعه داده‌های استفاده شده در ارزیابی را معرفی کرده‌ایم. در قسمت پنجم، به ارزیابی روش مطرح شده در شناسایی الگوهای رفتاری مخرب پرداخته‌ایم. قسمت ششم و هفتم را به نتیجه گیری و بیان کارهای آتی اختصاص داده‌ایم.

## ۲- کارهای مرتبط

به طور کلی امروزه محققان به دنبال ارائه راه حل هایی برای تسخیر الگوهای مخربی هستند که خصیصه ذاتی یک برنامه‌ی مخرب را نشان دهند، و به این ترتیب بتوانند با ایجاد یک رهیافت مؤثر<sup>۱</sup> و کار<sup>۲</sup> در مقابل رشد بی‌رویه بدافزارهای مبهم شده ایستادگی کنند. مدل‌های غیرمؤثر، مدل‌هایی هستند که خصوصیات ذاتی یک برنامه مخرب را دریافت نمی‌کنند، بلکه تنها خصوصیات رفتاری مربوط به یک برنامه مخرب خاص را نشان می‌دهند. در نتیجه، این گونه مدل‌ها نمی‌توانند خیلی در مقابل نسخه‌های مبهم شده و چندشکل شده از یک بدافزار کارایی خوبی داشته باشند. به عنوان مثال، اکثر نرم افزارهای ضد-بدافزار سنتی برای تشخیص بدافزار متکی به امضاءهای بایستی (یا دستورالعملی) هستند. در واقع این گونه نرم افزارهای ضد-بدافزاری که مدل

3- Obfuscation

4- Encryption

5- Self-modifying

6- System Calls Sequence

7- Ordering

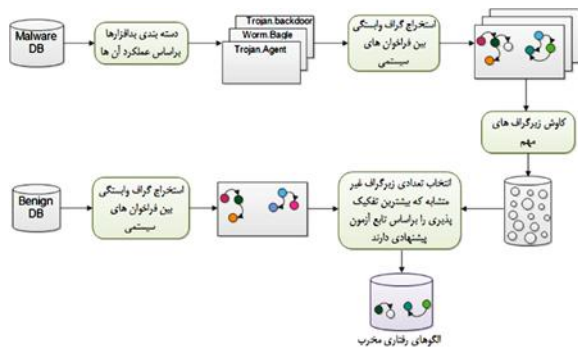
8- Junk system-calls insertion

9- Execution Sequences

1- Effective

2- Efficient

سیستمی است، در حین اجرا استخراج می‌شود. در مرحله سوم، از یک الگوریتم آماری مبتنی بر کاوش زیر گراف‌های پرتکرار و معیار اهمیت آماری، برای کاوش زیر گراف‌های مهم<sup>۴</sup> استفاده می‌شود. در مرحله چهارم، برای هر خانواده از بدافزارها K زیر گراف مهم غیر متشابه به گونه‌ای انتخاب می‌شوند که، بر اساس تابع آزمون H، بیشترین تفکیک‌پذیری را در تمیز دادن برنامه‌های مخرب از برنامه‌های سالم داشته باشند.



شکل (۱). فرایند طرح پیشنهادی به منظور استخراج الگوهای رفتاری مخرب

### ۳-۱- دسته‌بندی بدافزارها

به منظور استخراج رفتارهای مخرب مختص به هر خانواده بدافزار لازم است که ابتدا بدافزارها را بر اساس عملکردشان دسته‌بندی کرد. چرا که در حالت عادی دشوار به نظر می‌رسد که بتوان برای همه خانواده‌های مختلف بدافزار رفتارهای مشترکی را استخراج کرد. به این دلیل که اساساً، هر یک از خانواده‌های مختلف بدافزار، آسیب‌پذیری‌های متفاوتی را مورد هدف قرار می‌دهد و گستره عملکردی مختلفی نسبت به مابقی خانواده‌ها دارد. عمل دسته‌بندی بدافزارها هم می‌تواند به صورت دستی صورت گیرد، و هم این که می‌توان از دسته‌بندی بر اساس روش‌های خودکار خوشه‌بندی مبتنی بر رفتار [۱۷-۱۵] و یا دسته‌بندی بر اساس میزان بیشترین شباهت گراف‌ها [۲۰] برای انجام این کار بهره گرفت. ما دسته‌بندی بدافزارها را به صورت دستی و بر اساس گزارش‌های ارائه شده توسط ضد-بدافزار کسپر斯基، انجام داده‌ایم؛ و از آن جا که این گزارش‌ها توسط محققان امنیتی و بر اساس مشاهده عملکرد آن بدافزار در حین اجرا و در یک محیط واقعی صورت می‌گیرد، بسیار دقیق‌تر از روش‌های خودکار خوشه‌بندی یا دسته‌بندی است [۱۴-۱۳].

### ۳-۲- استخراج گراف‌های رفتار

با توجه به این که تمام فعالیت‌های مخربی که یک بدافزار انجام می‌دهد قطعاً در گرو تعامل با سیستم‌عامل است، نمایش

تعاملاتی است که برنامه با محیط خودش، یعنی سیستم عامل، صورت می‌دهد. این تعاملات از طریق فراخوانی‌های سیستمی صورت می‌گیرد. در این راه کار برای شناسایی مجموعه خصوصیات مخرب، برنامه‌های مخرب در یک محیط کنترل شده اجرا می‌شوند. به این ترتیب، از ردیابی جریان داده پویا یا لکه‌گذاری برای توصیف دقیق وابستگی‌ها در تشکیل گراف وابستگی بین فراخوانی‌های سیستمی استفاده می‌کند. البته برای مطابقت این خصوصیات مخرب با رفتار زمان اجرای برنامه از لکه‌گذاری، به دلیل کند بودن، استفاده نمی‌شود. بلکه تنها فراخوانی‌های سیستمی و پارامترهایشان مورد تحلیل قرار می‌گیرد، نه این که همه اطلاعات را در سطح دستورالعمل، در زمان اجرا، تحلیل کند. این ایده منجر به کارا شدن عمل شناسایی بدافزار، بدون نیاز به استفاده از عمل گران لکه‌گذاری و استفاده از محیط‌های ویژه (ماشین مجازی)، در زمان اجرا واقعی، شده است. در نهایت، نویسنده اذعان دارد که توانسته‌اند عمل کشف بدافزار را به صورت مؤثر در یک سیستم پایانی با نرخ خطای مثبت کاذب صفر انجام دهند. علاوه بر تفاوتی که این راه کار با روش پیشنهادی ما، در نحوه تشکیل گراف رفتار دارد، الگوریتم استخراج خصوصیات مخرب آن نیز در یک راه اساسی با ما تفاوت دارد؛ و آن هم این که در روش آن‌ها، هیچ گونه تلاشی برای تمیز دادن رفتارهای مخرب از مجموعه رفتارهای مشاهده شده از برنامه‌های سالم، صورت نمی‌گیرد. بنابراین راه کار آن‌ها یقیناً نمی‌تواند تضمین کننده نرخ خطای مثبت کاذب صفر باشد.

اخیراً راه کار جدیدی در [۱۴] توسط Fredrikson و همکاران، مبتنی بر گراف‌کاوی<sup>۱</sup> و تحلیل مفهوم<sup>۲</sup> برای استخراج خصیصه‌های متمایز مخرب ارائه شده است. این راه کار نیز در یک راه کاملاً متفاوتی نسبت به روش پیشنهادی ما در این مقاله، عمل استخراج گراف رفتار و استخراج خصیصه‌های بهینه مخرب را انجام می‌دهد.

### ۳- طرح پیشنهادی

فرایند طرح پیشنهادی به منظور شناسایی و استخراج الگوهای رفتاری مخرب در شکل (۱) نشان داده شده است. این فرایند، شامل چندین مرحله است. در مرحله اول، بایستی بدافزارها را بر اساس عملکرد آن‌ها دسته‌بندی<sup>۳</sup> کرد. هدف از دسته‌بندی بدافزارها، استخراج رفتارهای مخرب مختص به هر خانواده است. در مرحله دوم، گراف رفتار مربوط به تمام بدافزارها و برنامه‌های سالم که مبتنی بر وابستگی بین فراخوانی‌های

1- Graph Mining  
2- Concept Analysis  
3- Classification

نخ مربوطه را نشان می‌دهند. این داده ساختار می‌تواند توسط تابع `NtCreateThread` تولید شود (out) و توسط `NtOpenProcess` استفاده شود (In). این نوع وابستگی با برچسب `c` در گراف وابستگی نشان داده شده است.

#### • تعریف رسمی گراف رفتار

گراف رفتار یک گراف مبتنی بر وابستگی بین فراخوانی‌های سیستمی است که به صورت یک  $5$  تایی  $G = (V, E, L, \alpha, \beta)$  نشان داده می‌شود. در این تعریف،

- $V$  یک مجموعه‌ای از گره‌های مربوط به فراخوانی‌های سیستمی  $\Sigma$  است،
- $E \subseteq V \times V$  یک مجموعه‌ای از یال‌ها است که وابستگی‌های بین فراخوانی‌های سیستمی را نشان می‌دهد،
- $L$  یک مجموعه‌ای از برچسب‌ها است،
- $\alpha : V \cup E \rightarrow L$  یک تابع است که برچسب مربوط به یال‌ها و گره‌ها را مشخص می‌کند. به گونه‌ای که برچسب هر گره را به نام فراخوانی سیستمی مربوطه‌اش، و برچسب هر یال‌ها را با وابستگی موجود بین دو فراخوانی سیستمی مربوطه‌اش قرار می‌دهد.
- $\beta : E \rightarrow \delta_{dep}$  یک تابع منطقی است که تمام وابستگی‌ها اعم از  $3$  وابستگی اصلی (با برچسب یال  $h, p, c$  و  $\$$  به علاوه‌ی وابستگی بین دو  $CC$  پشت سر هم (با برچسب یال  $\$$ ) را به ازای هر یال  $(v_i, v_j)$ ، در بین دو فراخوانی سیستمی، بیان می‌کند.

با معرفی  $\Sigma$  به عنوان مجموعه‌ای تمام فراخوانی‌های سیستمی رهگیری شده (۴۲) تابع فهرست شده در پیوست، می‌توان مجموعه  $L$  را به صورت  $L = \Sigma \cup \{h, p, c, \$\}$  بیان کرد. همان‌طور که پیش از این بیان شد،  $h, p, c$  و  $\$$  سه وابستگی اصلی را بین فراخوانی‌های سیستمی نشان می‌دهند. برچسب  $\$$  هم برای اتصال دو  $CC$  پشت سرهم، بین دو فراخوانی سیستمی ابتدایی مربوط به هر  $CC$ ، استفاده شده است.

یک فراخوانی سیستمی  $\sigma \in \Sigma$  یک تابع با  $n$  آرگومان ورودی از سه نوع منحصر به فرد (شامل سه نوع `handle`، `pvoid` و `pcient_id`) است، که به صورت  $\sigma : a_1 : t_1, a_2 : t_2, \dots, a_n : t_n \rightarrow$  تعریف می‌شود. که در آن نوع آرگومان  $i$ ام را نشان می‌دهد، و  $t_r$  نوع برگشتی تابع را نشان می‌دهد. البته از نوع برگشتی توابع برای استخراج وابستگی استفاده نشده است. از آن جا که نتیجه اجرای یک برنامه  $P$  همواره یک دنباله‌ای از درخواست‌ها برای فراخوانی‌های سیستمی به صورت  $T = (\sigma_1, \sigma_2, \dots, \sigma_n)$  است، می‌توان گراف رفتار برنامه  $P$  را به صورت  $G = (V, E, L, \alpha, \beta)$

رفتار یک برنامه بر اساس تعاملاتی که آن برنامه با سیستم‌عامل از طریق فراخوانی‌های سیستمی انجام می‌دهد، توانایی قدرتمندی را در کشف بدافزار مبتنی بر رفتار ایجاد کرده است. در حقیقت می‌توانیم با تشکیل یک گراف از وابستگی‌های بین فراخوانی‌های سیستمی، رفتار برنامه را به خوبی مدل کرد. ما برای رهگیری رفتار برنامه‌ها در ضمن اجراء از راه کار قلاب اندازی به جدول `SSDT` استفاده کرده‌ایم. برای این منظور یک راه‌انداز به نام `ProcessHooking.sys` در هسته سیستم‌عامل ایجاد شده است، که اقدام به قلاب اندازی به `۴۲` تابع حساس و مهم مورد نظر می‌کند. معیار انتخاب این `۴۲` تابع بر اساس ملاحظات انجام شده بر روی برخی ضد-بدافزارهای رفتاری همچون `Kaspersky` و `BitDefender` بوده است. اسامی این `۴۲` تابع به همراه آرگومان‌هایی که برای تشکیل گراف رفتار برنامه مورد استفاده قرار گرفته‌اند، در پیوست آمده است.

- **استخراج وابستگی‌ها:** روش پیشنهادی توانسته است با در نظر گرفتن سه نوع وابستگی بین فراخوانی‌های سیستمی، رفتار برنامه را به خوبی به صورت گراف مدل کند. به ازای هر آرگومان ابتدا نوع آرگومان و در داخل جفت برکت، ورودی (in) و یا خروجی (out) بودن آن آرگومان مشخص شده است.  $3$  نوع وابستگی در نظر گرفته شده برای ایجاد گراف رفتار مبتنی بر وابستگی بین فراخوانی‌های سیستمی عبارت‌اند از:

۱. `Handle`: تقریباً برای دسترسی به هر شیء و منبعی در سیستم‌عامل (شامل فایل، حافظه، پورت، رجیستری و ...) از `handle` استفاده می‌شود. این نوع وابستگی با برچسب `h` در گراف وابستگی نشان داده شده است.
۲. `Pvoid`: اشاره‌گری است که به ابتدای یک حافظه اشاره دارد. به عنوان مثال، فراخوانی سیستمی `NtAllocateVirtualMemory` یک اشاره‌گر از نوع `pvoid` را به عنوان خروجی (out) برمی‌گرداند که به ابتدای حافظه‌ی تخصیص یافته اشاره دارد، و در ادامه این اشاره‌گر می‌تواند به عنوان آرگومان ورودی به تابعی مثل `NtProtectVirtualMemory` ارسال شود. که در واقع چنین رفتاری، نشانگر این است که تدابیر امنیتی خاصی بر روی یک قسمت تخصیص یافته از حافظه اعمال می‌شود. این نوع وابستگی با برچسب `p` در گراف وابستگی نشان داده شده است.

۳. `Pclient_id`: این آرگومان نیز یک اشاره‌گر به داده ساختاری است که شامل دو فیلد `ProcessId` و `ThreadId` است که به ترتیب شناسه پروسه و شناسه

بیان کرد به گونه‌ای که:

۱. قرار گرفتن هر فراخوانی سیستمی در گراف رفتار، منوط به درخواست آن فراخوانی سیستمی در دنباله اجرایی  $T$  است به گونه‌ای که:

$$\forall v_i \in V. \exists \sigma_i \in T \mid \alpha(v_i) = \sigma_i$$

۲. قرار گرفتن هر وابستگی در گراف رفتار (به جزء وابستگی  $\$$ )، منوط به درخواست دو فراخوانی سیستمی در دنباله‌ای اجرایی  $T$  به گونه‌ای است که:

$$\forall (v_i, v_j) \in E. \exists \sigma_i, \sigma_j \in T \mid \alpha(v_i) =$$

$$\sigma_i \wedge \alpha(v_j) = \sigma_j \wedge \beta(v_i, v_j)$$

۳. همان‌طور که گفته شد، وابستگی  $\$$  نیز بین دو رأس ابتدایی دو CC پشت سرهم تشکیل می‌شود.

### ۳-۳- کاوش زیرگراف‌های مهم

پیش از پرداختن به جزئیات کار، لازم است مفاهیمی را که در ادامه با آن‌ها روبرو می‌شوید، تعریف کنیم.

**نرخ فراوانی:** با داشتن یک مجموعه گراف  $G$ ، نرخ فراوانی یک الگوی زیرگراف  $p$  برابر است با نسبت تعداد گراف‌های  $p$  را پوشش می‌دهند به تعداد کل گراف‌ها در  $G$ .

**مجموعه مخرب و مجموعه‌ی سالم:** مجموعه‌ی مخرب شامل یک مجموعه گراف است که هر گراف رفتار مشاهده شده از یک برنامه مخرب را نشان می‌دهد. مجموعه سالم نیز شامل یک مجموعه گراف استخراج شده از برنامه‌های سالم است. به همین ترتیب، نرخ فراوانی یک الگوی زیرگراف  $g$  در مجموعه مخرب به صورت  $p(g)$  و در مجموعه سالم به صورت  $q(g)$  نشان داده می‌شود.

**کاوش زیرگراف‌های مهم:** با داشتن یک مجموعه دادگان گراف  $D = \{G_1, \dots, G_n\}$  و یک تابع هدف  $F$ ، این مسئله شامل پیدا کردن همه‌ی زیرگراف‌های  $g$  با  $F(g) \geq \delta$  است که در آن  $\delta$  یک آستانه‌ی اهمیت است.

**زیرگراف پرتکرار:** با داشتن یک مجموعه دادگان گراف  $D = \{G_1, \dots, G_2\}$  و یک آستانه فراوانی  $\theta$ ، یک زیرگراف  $g$  با مقدار پوشش مشاهده‌شده‌ی  $\mu_0$  پرتکرار است اگر و فقط اگر

$$\mu_0 \geq \frac{\theta |D|}{100}$$

**اهمیت آماری:** اهمیت آماری (یا p-value) یک زیرگراف  $g$  با مقدار پوشش مشاهده‌شده  $\mu_0$  به صورت احتمال این که این زیرگراف در یک پایگاه داده تصادفی با مقدار پوشش  $\mu$  رخ می‌دهد، بیان می‌شود که در آن،  $\mu \geq \mu_0$  می‌باشد.

**امتیاز تفکیک‌سازی:** امتیاز تفکیک‌سازی یک الگوی زیرگراف  $g$  یک تابع هدف تعریف‌شده توسط کاربر، بر اساس نرخ فراوانی  $g$  در مجموعه مخرب  $p(g)$  و مجموعه سالم  $q(g)$  است. به صورت کلی، تابع هدف به گونه‌ای عمل می‌کند که هر چه  $p(g)$  از  $q(g)$  بیشتر باشد، امتیاز تفکیک‌سازی زیرگراف  $g$  بهتر خواهد بود.

در این مرحله، ما به‌زای هر خانواده بدافزار یک مجموعه زیرگراف مهم استخراج می‌کنیم. این مجموعه زیرگراف مهم شامل زیرگراف‌هایی است که احتمال مشاهده آنها در یک مجموعه گراف تصادفی دیگر، خیلی زیاد نباشد. این شرط توسط اهمیت آماری، که به‌وسیله خود کاربر مشخص می‌شود، کنترل می‌شود.

ما از یک الگوریتم آماری مبتنی بر کاوش بردار ویژگی [۱۹] برای استخراج زیرگراف‌های مهم استفاده کردیم. در این الگوریتم با توجه به مجموعه دادگان، یک سری ویژگی‌های ساختاری ساده شامل گره‌ها و یال‌ها با برجسب‌های خاص از پیش تعریف می‌شوند. سپس هر گره در هر گراف را با یک بردار ویژگی، براساس این ویژگی‌های از پیش تعیین شده، نشان می‌دهند. بردار ویژگی مربوط به هر گره یک ناحیه را در داخل گراف نشان می‌دهد، که چگونگی توزیع ویژگی‌ها در اطراف آن گره را نشان می‌دهد. پس از تعیین ویژگی‌های مربوط به بردار ویژگی (در اینجا شامل همه‌ی فراخوانی‌های سیستمی و همه یال‌های امکان‌پذیر بین فراخوانی‌های سیستمی است)، ابتدا گراف‌ها با قدم‌زنی تصادفی و شروع مجدد بر روی هر گره، به بردارهای ویژگی تبدیل می‌شوند. این مرحله را می‌توان به این شکل توصیف کرد که یک پنجره بر روی هر گره قرار داده می‌شود و سپس یال‌های داخل این پنجره به صورت تصادفی پیمایش می‌شوند؛ در ضمن همین پیمایش است که مقداره‌ی به ویژگی‌های بردار ویژگی مربوط به این گره صورت می‌گیرد. سپس با کاوش بردار ویژگی، بردارهای زیر-ویژگی مهم (براساس معیار p-value) و پرتکرار استخراج می‌شوند. براساس این بردارهای زیر-ویژگی، گراف‌ها به داخل گروه‌های کوچکی تقسیم می‌شوند؛ به گونه‌ای که گراف‌های داخل یک گروه یکسان، بردارهای زیر-ویژگی مشابهی دارند. از شباهت بالای بردارهای موجود در یک گروه می‌توان به این نتیجه رسید که گراف‌های دربرگیرنده‌ی این بردارها نیز دارای شباهت بالایی هستند، و در نتیجه زیرگراف‌های با تکرار خیلی بالا را به اشتراک می‌گذارند. به همین دلیل، از یک راه‌کار کاوش زیرگراف پرتکرار با آستانه فراوانی بالا، برای استخراج زیرگراف‌های پرتکرار داخل آن گروه، استفاده می‌شود. به این ترتیب چون که از آستانه فراوانی بالا برای کاوش

هر دو سمت (به ازای  $q > p$  و  $p > q$ )، تابع شیب مثبتی را طی می‌کند (رابطه (۲) و (۳)). در این مقاله، یک تابع آزمون جدید به نام آزمون  $H$ ، به منظور آزمون میزان تفکیک پذیری یک زیرگراف پیشنهاد شده است. برای توجیه دقیق این آزمون، در ادامه مروری بر آزمون  $G$  صورت گرفته است. آزمون  $G$  یک آزمون بر اساس نرخ درست‌نمایی با توزیع دوجمله‌ای است و بررسی می‌کند که «آیا نرخ فراوانی یک زیرگراف در مجموعه مخرب، با توزیع آن زیرگراف در مجموعه سالم سازگار است یا خیر» [۲۲]. فرمول محاسبه نیز در رابطه (۴) آمده است.

$$G_{test} = 2 \ln \frac{\ell(p|n)}{\ell(q|n)} = 2m \left( p \cdot \ln \frac{p}{q} + (1-p) \cdot \ln \frac{1-p}{1-q} \right) \quad (4)$$

در این تعریف  $m$  تعداد گراف‌های موجود در مجموعه مخرب است و  $\ell(p|n)$  و  $\ell(q|n)$  به ترتیب تابع درست‌نمایی بردار  $q$  و  $p$  با بردار مشاهدات  $n$  است.

$$\ell((p, 1-p)|(n_1, n_2)) = k p^{n_1} (1-p)^{n_2} \quad (5)$$

$$\ell((q, 1-q)|(n_1, n_2)) = k q^{n_1} (1-q)^{n_2} \quad (6)$$

با توجه به این که هدف ما، تنها شناسایی زیرگراف‌های متمایزکننده مخرب است، لذا می‌توان با حذف قسمت دوم رابطه (۴) و همچنین ضرایب ثابت آن، تابع آزمون تک‌سویه  $G$  را به صورت رابطه (۷) نوشت.

$$G_{test OneTail} = p \cdot \ln \frac{p}{q} \quad (7)$$

با کمی تأمل بر روی رابطه (۷) می‌توان دریافت در حالی که نسبت لگاریتمی نرخ فراوانی مخرب و سالم برای دو زیرگراف  $g_1$  و  $g_2$  یکسان باشد، این تابع آزمون به زیرگرافی که نرخ فراوانی مخرب بزرگ‌تری داشته باشد امتیاز بیشتری خواهد داد. اما ارزیابی‌های ما همواره نشان داده‌اند، که در چنین وضعیتی انتخاب زیرگرافی که نرخ فراوانی کمتری در مجموعه سالم دارد، انتخاب بهتری است. در واقع، این انتخاب اعتبار خیلی بیشتر به زیرگراف‌هایی خواهد داد که به‌ندرت در مجموعه سالم پدیدار شده‌اند و به این ترتیب منجر به شناسایی زیرگراف‌هایی خواهد شد که ذات مخرب‌تری دارند. پس تابع هدف پیشنهاد شده، به منظور رتبه‌بندی زیرگراف‌های مهم، به صورت رابطه (۸) قابل تعریف است. این تابع را تابع آزمون  $H$  (برگرفته از Hypothesis testing) نامیده‌ایم.

$$F(g) = H_{test} = \frac{1}{q} \cdot \ln \frac{p}{q} \quad (8)$$

با کمی محاسبه، مشاهده می‌کنیم که این تابع شرط رابطه (۲) را به‌درستی پوشش داده است. به این صورت که، اگر  $p > q$  باشد آنگاه:

$$\frac{\partial F}{\partial p} = \frac{1}{q} \cdot \frac{1}{p} \cdot \frac{1}{q} = \frac{1}{pq} > 0$$

$$\frac{\partial F}{\partial q} = \left( -\frac{1}{q^2} \cdot \ln \frac{p}{q} \right) + \left( \frac{1}{q} \cdot \frac{q-p}{q^2} \right) = -\left( \frac{1}{q^2} \cdot \ln \frac{p}{q} \right) - \frac{1}{q^2} < 0$$

زیرگراف استفاده شده است، از شمارش یک تعداد خیلی زیاد زیرگراف‌های نامزد، که منجر به ایجاد یک گلوگاه شدیدی در روش‌های ابتدایی می‌شد، پیشگیری شده است. این روش قادر است زیرگراف‌های مهم را به‌صورت کاملاً مؤثری استخراج کند. جزئیات بیشتر این روش در [۱۹] قابل مشاهده است.

### ۳-۴- شناسایی زیرگراف‌های متمایزکننده

تا به اینجا به‌ازای هر خانواده بدافزار، یک مجموعه زیرگراف مهم استخراج شده است. در این مرحله از روش پیشنهادی، یک کاوش مجدد بر روی هر یک از این مجموعه زیرگراف‌های مهم انجام می‌دهیم، تا به ازای هر خانواده بدافزار برخی از زیرگراف‌های متمایزکننده ارزشمند موجود در آن خانواده را شناسایی کنیم. این زیرگراف‌های متمایزکننده، در بر دارنده رفتارهای مخربی هستند که قابلیت تمیز دادن بدافزارها از برنامه‌های سالم را دارند.

به منظور تعیین زیرگراف‌های تفکیک‌پذیر، نیاز به تعریف یک تابع هدف برای امتیازدهی به زیرگراف‌ها براساس میزان فراوانی زیرگراف‌ها در مجموعه برنامه مخرب و مجموعه برنامه سالم است. به گونه‌ای که هر چقدر یک زیرگراف قابلیت ایجاد تفکیک‌پذیری بیشتری بین مجموعه مخرب و مجموعه سالم داشته باشد، امتیاز بیشتری خواهد داشت. با فرض این که  $p(g)$  و  $q(g)$  به ترتیب نرخ فراوانی زیرگراف  $g$  در مجموعه مخرب و مجموعه سالم باشند، تابع هدف برای امتیازدهی به زیرگراف  $g$ ، یعنی  $F(g)$ ، یک تابع از  $p$  و  $q$  (به ترتیب شکل خلاصه‌شده  $p(g)$  و  $q(g)$ ) است:

$$F(g) = f(p, q) \quad (1)$$

به‌طور کلی اگر اختلاف نرخ فراوانی یک زیرگراف  $g$  در مجموعه مخرب و مجموعه سالم افزایش یابد، این زیرگراف قابلیت تفکیک‌پذیری بیشتری بین دو مجموعه ایجاد می‌کند. در نتیجه اگر اختلاف نرخ فراوانی‌ها نسبت به هر دو مجموعه مخرب و سالم ملاک تفکیک‌پذیری یک زیرگراف باشد، آنگاه تعریف فوق بایستی هر دو ویژگی زیر را داشته باشد:

$$\text{if } p > q, \frac{\partial F}{\partial p} > 0, \frac{\partial F}{\partial q} < 0 \quad (2)$$

$$\text{if } p < q, \frac{\partial F}{\partial p} < 0, \frac{\partial F}{\partial q} > 0 \quad (3)$$

که در این صورت، تعریف فوق توابع هدف زیادی از جمله آزمون  $G$  و بهره‌های اطلاعاتی ۱ را تحت پوشش قرار می‌دهد. هر دو تابع اشاره شده، به‌طور کلی آزمون‌های متقارن یا دو سویه هستند؛ به این معنی که اختلاف نرخ فراوانی نسبت به هر دو مجموعه مخرب و سالم مد نظر قرار داده می‌شود و در نتیجه در

زیرگراف‌های رتبه‌بندی شده را بر می‌گرداند. به این صورت که اگر  $k$  یک عدد صحیح باشد از تابع  $\text{cutoff.k}$  استفاده می‌شود که یک مجموعه با  $k$  زیرگراف با بهترین امتیاز را برمی‌گرداند. و اگر  $k$  یک عدد اعشاری بین ۰ تا ۱ باشد از تابع  $\text{cutoff.k.percent}$  استفاده می‌شود که یک مجموعه با  $k$  درصد از زیرگراف‌های که بهترین امتیاز دارند، را بر می‌گرداند. در ضمن  $\text{scoretable}$  نیز یک جدول است که شناسه هر زیرگراف مهم، به صورت سطر و امتیاز مربوط به آن در اولین ستون جدول درج شده است.

#### ۴- پیاده‌سازی

ما تلاش‌های زیادی را برای ایجاد یک ابزار نظاره‌گر دقیق، به منظور رهگیری تمام تعاملاتی که یک برنامه با سیستم‌عامل انجام می‌دهد، ترتیب داده‌ایم. این ابزار نظاره‌گر مبتنی بر رهگیری فراخوانی‌های سیستمی در سطح هسته است و به این ترتیب قادر به رهگیری تمام بدافزارها از جمله روت‌کیت‌ها (در سطح هسته اجرا می‌شوند) است. بر طبق نتایج مستند شده شرکت سایمنتیک [۲۱]، در هر ماه به‌طور متوسط ۲۰٪ از بدافزارها اقدام به شناسایی محیط ماشین مجازی می‌کنند. به همین دلیل، ما از ماشین مجازی برای ردیابی رفتار بدافزار استفاده نکرده‌ایم، بلکه تمام بدافزارها را در یک محیط واقعی Windows 7، ۳۲ بیتی اجرا کرده‌ایم. پس از اجرای تعدادی بدافزار، با برگرداندن نسخه پشتیبان، سیستم عامل به حالت اولیه و تمیز برگشت داده می‌شود. به منظور تهیه و بازیابی نسخه پشتیبان از سطح کل دیسک از نرم‌افزار Norton.Gost، ۲۰۱۵، استفاده کرده‌ایم. گراف رفتار مبتنی بر وابستگی بین فراخوانی‌های سیستمی با دنبال کردن زنجیره تعریف-استفاده<sup>۱</sup> استخراج شده است. به این صورت که هر آرگومان خروجی (در براکت out) یک تعریف و هر آرگومان ورودی (در براکت in) یک استفاده است. البته دوره زنده ماندن هر تعریف، بسته به این که از چه نوعی باشد متفاوت است. به این صورت که در نوع  $\text{handle}$  پایان عمر یک تعریف، تنها به وسیله تابع  $\text{NtClose}$  مشخص می‌شود. ولی در دو نوع دیگر  $\text{pvoid}$  و  $\text{pclient\_id}$  پایان عمر یک تعریف، یک تعریف مجدد از همان نوع با همان مقدار اشاره‌گر است.

#### ۵- ارزیابی

برای ارزیابی کارایی روش پیشنهادی در استخراج الگوهای رفتاری مخرب، از پنج خانواده مختلف بدافزار که به‌وفور در اطراف ما یافت می‌شوند و یک مجموعه ۷۰ تایی از برنامه‌های سالم پرکاربرد، استفاده شده است. جدول (۱) اسامی برنامه‌های سالم استفاده شده در ارزیابی را نشان می‌دهد. این مجموعه شامل ۷۰

الگوریتم (۱). تعیین زیرگراف‌های متمایزکننده

**DiscriminativeSubgraphsSelection**( $G, G^+, G^-, k$ )

**Input:** a set of significant subgraph  $G$   
**Input:** a set of malicious graph  $G^+$   
**Input:** a set of benign graph  $G^-$   
**Input:** a positive integer  $k$  in case of  $\text{cutoff.k}$  and a numeric between 0 and 1 in case of  $\text{cutoff.k.percent}$   
**Output:** a set of discriminative subgraph  $D$

1. **scoretable** as a table containing ranks for subgraphs in the first column and their ids as row ids
2.  $D \leftarrow \emptyset$
3. **for each**  $g \in G$  **do**
4.  $p = \frac{|\forall g_i \in G^+ | g \subseteq g_i|}{|G^+|}$
5.  $q = \frac{|\forall g_i \in G^- | g \subseteq g_i|}{|G^-|}$
6.  $\text{score} = \frac{1}{q} \cdot \ln \frac{p}{q}$
7. **scoretable**( $g.\text{id}, \text{score}$ )
8.  $D \leftarrow \text{cutoff.k.percent}(\text{scoretable}, k)$  Or  $D \leftarrow \text{cutoff.k}(\text{scoretable}, k)$
9. **return**  $D$

در قسمت ارزیابی، مقایسه دقیقی را بین تابع آزمون  $H$  با تابع آزمون تک‌سویه  $G$  و بهره‌آطلاعاتی انجام داده‌ایم. به این ترتیب، اکنون آماده‌ایم تا از تابع آزمون  $G$  برای رتبه‌بندی قدرت تفکیک‌پذیری زیرگراف‌های هر مجموعه زیرگراف مهم، استفاده کنیم. سپس به‌ازای هر مجموعه زیرگراف مهم/به‌ازای هر خانواده،  $k$  زیرگراف با بیشترین امتیاز تفکیک‌پذیری به‌عنوان الگوهای متمایزکننده برای آن خانواده بدافزار انتخاب خواهند شد. البته با توجه به متفاوت بودن ذات هر خانواده بدافزار، از لحاظ گستره، عملکردهای متفاوتی که هر خانواده از خود نشان می‌دهد، انتخاب  $k$  یکسان برای همه خانواده بدافزار کار دشواری است. به همین منظور انتخاب  $k$  می‌تواند توسط شخص تحلیل‌گر بدافزار، که دارای شناخت کافی نسبت به ماهیت هر خانواده بدافزار است، به صورت دستی هم مشخص شود. ارزیابی‌های انجام شده، نشان می‌دهند که برای هر خانواده از بدافزار انتخاب  $k$  برابر با ۲۰٪ از اندازه مجموعه زیرگراف مهم استخراج شده برای آن خانواده، یک انتخاب شایسته است. به این ترتیب به‌ازای هر خانواده بدافزار، مجموعه مرجعی از الگوهای مخربی را خواهیم داشت که توانایی تفکیک بدافزارهای مربوط به این خانواده از برنامه‌های سالم را خواهند داشت. الگوریتم (۱)، جزئیات این مرحله در انتخاب الگوهای رفتاری مخرب، به‌ازای هر خانواده بدافزار را نشان می‌دهد. در این الگوریتم مجموعه زیرگراف مهم با  $G^-$ ، مجموعه گراف سالم با  $G^+$  و مجموعه گراف مخرب با  $G$  نشان داده شده است. تابع  $\text{cutoff}$  یک زیرمجموعه از

جدول (۲). برنامه‌های سالم استفاده شده در ارزیابی

Acrobat Acrobat Pro.11 setup	BitTorrent	Internet explore	KMPlayer	Notepad	Sublime.Text.3 Build.3012	Ultra Uninstaller
Acrobat Acrobat Pro.11	BitTorrent Setup	JetAudio	KMPlayer uninstall	Notepad++	Sublime.Text.3.Build.3012 Extracting	uTorrent
Acronis Backup & Recovery 11.5 Setup	Active Boot Disk 10.0.1 Suite	jetChat	Lingoes	Notepad uninstall	sublime_text1	uTorrent Setup
Acronis-Management Console	calc	JetLogo	Lingoes Setup	npp.6.5.3.Installer	Sublime uninstaller	VMware Workstation v.8
Windows Media Player	Windows Media Center Shell	JetLyric	Lingoes uninstaller	nslookup	Jet Uninstaller	WinRAR
Active File Recovery Pro setup	File Recovery	JetRecorder	Magnify	opera	Total Video Converter	WinRAR Setup
Active File Recovery	Firefox Setup Stub 39.0	JetShell	Media Player Calssic Setup	Opera_1202_int Setup	Total Video Player	WinRAR Uninstaller
Adobe Dreamweaver CC	Internet Download Manager	JetTrim	Media Player Calssic UnInstaller	Active@ Partition Recovery	Total Video Uninstaller	Windows Update
Adobe Dreamweaver CC setup	Internet Download Manager Setup	jetUpdate	Microsoft Paint	SnippingTool	UltraISO	Total Video Setup
Babylon	Internet Download Manager Uninstall	kmplayer 3.9 Setup	Remote Desktop Connection	StikyNot	UltraISO setup	Media Player Clssic

جدول (۲)، ویژگی‌های مربوط به پنج خانواده بدافزار استفاده شده در ارزیابی را نشان می‌دهد. رفتار هر بدافزار به‌طور متوسط ۳ دقیقه تحت نظر قرار گرفته است. این مدت زمان برای مشاهده عملکرد بدافزارها کافی است. از آنجا که برخی بدافزارها برای اطمینان از عدم حضور خود در یک محیط تحلیل نیاز دارند که وجود کاربر را همچنان احساس کنند، لذا در ضمن تحلیل، تعامل با سیستم‌عامل همچنان حفظ شده است.

منبع اصلی ما برای جمع‌آوری بدافزارها سایت VirusShare.com بوده است. این سایت از سال ۲۰۱۲ تاکنون، تقریباً در بازه‌های زمانی ۶۰ روزه، اقدام به انتشار بدافزارهای جدید، در قالب یک فایل تورنت می‌کند. علاوه بر این، به‌منظور دسته‌بندی بدافزارها بر اساس عملکرد، از گزارشات ضد-بدافزار کسپرسکی، نسخه ۲۰۱۵، استفاده شده است. پیش از ارزیابی و مقایسه الگوهای رفتاری مخرب استخراج شده توسط روش پیشنهادی، ابتدا نتایج حاصل از تابع آزمون پیشنهادی برای رتبه‌بندی زیرگراف‌های مهم مورد ارزیابی قرار گرفته است.

#### ۵-۱- ارزیابی تابع آزمون H

برای ارزیابی تابع آزمون H، مقایسه‌ای بین نحوه‌رتبه‌بندی این تابع و توابع آزمون G و بهره اطلاعاتی صورت داده‌ایم. رتبه‌بندی بر روی یک مجموعه با ۷۰ زیرگراف مهم که از خانواده Bagle با ۲۴ بدافزار استخراج شده، انجام شده است. مجموعه سالم ما نیز شامل ۷۰ برنامه سالم فهرست شده در جدول (۱) است. نمودار مربوط به نحوه رتبه‌بندی تابع بهره اطلاعاتی، آزمون G و آزمون H به ترتیب در شکل ۱، ۲ و ۳ نشان داده است.

در این اشکال محور x، فراوانی زیرگراف در مجموعه گراف مخرب و محور y، فراوانی زیرگراف در مجموعه گراف سالم را نشان می‌دهد. هر یک از دایره‌های داخل نمودار، مربوط به یک زیرگراف است و رنگ آن گویای مقدار امتیازی است که تابع

برنامه سالم با کاربردهای مختلف، شامل برنامه‌های دسترسی به وب، مرورگرها، برنامه‌های دیسک، برنامه‌های بازیابی، دانلودرها، نصب‌کننده‌ها، جداکننده‌ها، فشرده‌کننده‌ها و غیره استفاده شده است. همان‌طور که می‌دانید برنامه‌هایی مثل نصب‌کننده‌ها و جداکننده‌ها از آن جا که یک مجموعه عملیات در سطح امتیاز مدیر (از جمله تعبیه یک تکه کد برای اجرا شدن در هر بار راه‌اندازی مجدد سیستم و ایجاد تغییر در تنظیمات پیکربندی فعلی سیستم) انجام می‌دهند، به‌شدت به رفتارهای مخرب که بدافزارها از خود نشان می‌دهند، نزدیک هستند. سهم زیادی از مجموعه انتخابی ما به برنامه‌های نصب‌کننده و جداکننده اختصاص داده شده است. با توجه به این که اکثر عملکردهای موجود در برنامه‌های سالم پنهان هستند، تعامل با هر برنامه به‌صورت دستی صورت گرفته است تا تمام عملکردهای که در یک برنامه دارد، حداقل یک بار اجرا شوند.

جدول (۱). خانواده‌های مختلف بدافزار استفاده شده در ارزیابی

نام خانواده	توصیف
Bagle	کرم <sup>۴</sup> ، تکثیر از راه پست الکترونیک
Virut	ویروس، تخریب فایل‌ها
Fesber	کرم، تکثیر از راه شبکه
Delf	کرم، تکثیر از راه شبکه
Poison	درب پستی <sup>۵</sup>

1- Downloader

2-Installer

3- Uninstaller

۴- کرم یا Worm، این دسته از بدافزار ممکن است اهداف مختلفی در سطح دیگر بدافزارها داشته باشند. ولی ویژگی اصلی آن‌ها تکثیر است. این تکثیر می‌تواند از طریق شبکه محلی یا اینترنت، پست الکترونیک (Email) با الصاق فایل مخرب، شبکه نظیر به نظیر، بلوتوث و غیره برای آلوده کردن سیستم قربانی‌ها انجام شود.

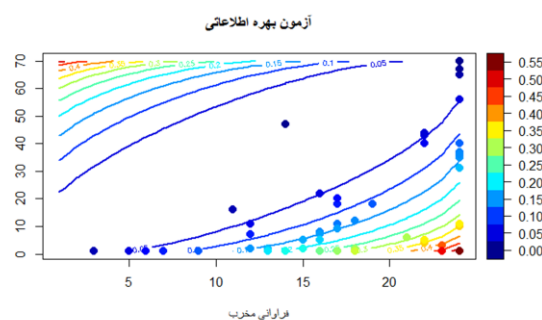
۵- درب پستی یا Backdoor، این دسته از بدافزار تمایل به دسترسی و دستکاری برنامه‌ها، شبکه و غیره از راه دور دارند.



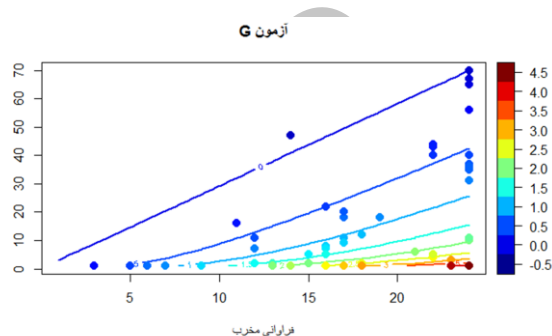
رنگ مشخص شده در ستون سمت راست نمودار، یک منحنی در داخل نمودار وجود دارد که نحوه امتیازدهی به یک زیرگراف را با توجه به تغییرات مقدار فراوانی در مجموعه سالم و مخرب نشان می‌دهد. همان‌طور که از این نمودارها پیدا است که تابع آزمون H، توجه خیلی زیادی به پایین نگه‌داشتن نرخ فراوانی در مجموعه سالم دارد. به‌عنوان مثال تابع آزمون G انتخاب زیرگرافی با مقدار فراوانی مخرب ۲۳ و مقدار فراوانی سالم ۲ را به انتخاب زیرگرافی که فراوانی مخرب آن ۱۷ و مقدار فراوانی سالم آن صفر است، ترجیح می‌دهد. به همین ترتیب تابع بهره‌وری اطلاعاتی نیز همین زیرگراف را با انتخاب یک زیرگراف خیلی بدتری، که مقدار فراوانی مخرب آن ۲۴ و مقدار فراوانی سالم آن ۱۰ است، پس می‌زند. همه این‌ها باعث شده‌اند که از تابع آزمون پیشنهادی H برای انتخاب برترین زیرگراف‌ها استفاده شود.

## ۵-۲- ارزیابی و مقایسه الگوهای رفتاری مخرب استخراج شده

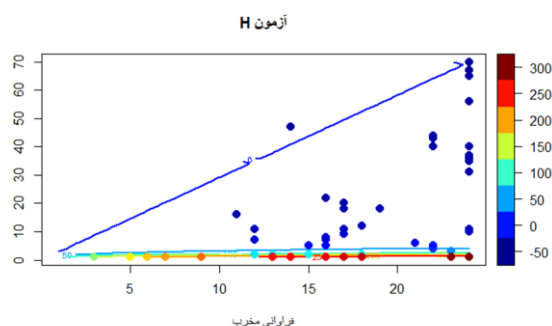
نتایج کلی حاصل از ارزیابی‌های انجام شده در جدول (۳) ارائه شده است. ستون دوم این جدول، تعداد بدافزارهای انتخاب شده به ازای هر خانواده را نشان می‌دهد. لازم به ذکر است که اندازه مجموعه سالم در نظر گرفته شده نیز ۷۰ است. ستون سوم جدول تعداد زیرگراف‌های مهم و غیر متشابه استخراج شده توسط الگوریتم کاوش زیرگراف‌های مهم، به ازای هر خانواده را نشان می‌دهد. ستون چهارم جدول، تعداد الگوهای رفتاری مخرب متفاوت انتخاب شده به ازای هر خانواده را نشان می‌دهد. این تعداد برابر با ۲۰٪ از زیرگراف‌های مهم برتر انتخاب شده براساس تابع آزمون H است که بیشترین قابلیت تمیز دهندگی مجموعه گراف مخرب از سالم را دارند. نرخ پوششی که این الگوها در شناسایی مجموعه مخرب انتخاب شده به ازای هر خانواده بدافزار و مجموعه سالم ایجاد می‌کنند، به ترتیب در ستون‌های پنجم و ششم دیده می‌شود. همان‌طور که مشاهده می‌کنید، علیرغم مجموعه گسترده و متنوع برنامه‌های سالم، نرخ خطای کاذب برای تمام الگوهای مخرب انتخاب شده به ازای هر خانواده کاملاً صفر است.



شکل (۱). رتبه‌بندی ۷۰ زیرگراف مهم، استخراج شده از خانواده Bagle، بر اساس بهره اطلاعاتی



شکل (۲). رتبه‌بندی ۷۰ زیرگراف مهم، استخراج شده از خانواده Bagle، بر اساس آزمون G

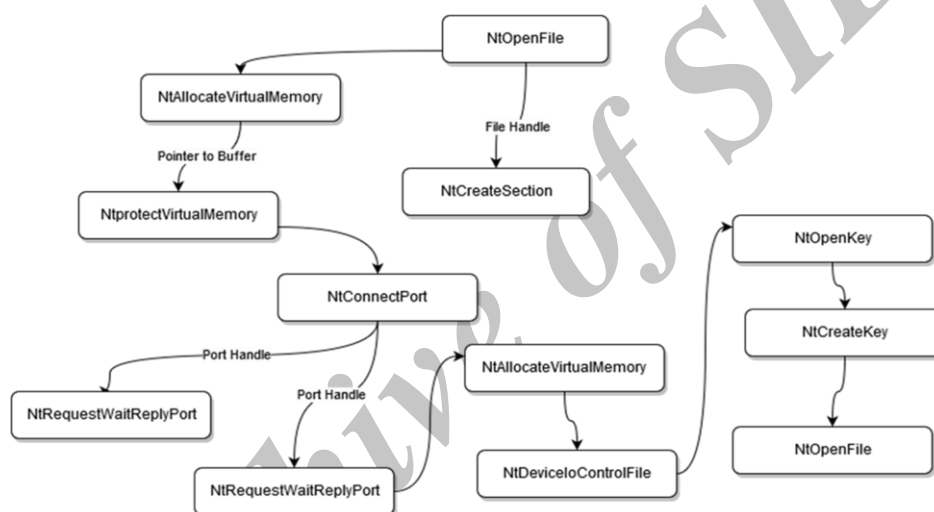


شکل (۳). رتبه‌بندی ۷۰ زیرگراف مهم، استخراج شده از خانواده Bagle، بر اساس آزمون پیشنهادی H

هدف، به آن زیرگراف داده است. به این صورت که، آبی کدر کمترین و قرمز کدر بیشترین امتیاز را نشان می‌دهند. به ازای هر

جدول (۳). نتایج حاصل از استخراج الگوهای رفتاری مخرب به ازای پنج خانواده بدافزار با در نظر گرفتن ۷۰ برنامه سالم

مرحله آزمون		مرحله یادگیری					
دقت شناسایی	اندازه مجموعه آزمون مخرب	نرخ پوشش در مجموعه سالم	نرخ پوشش در مخرب	تعداد الگوهای رفتاری مخرب براساس k (۲۰٪ برتر)	تعداد زیرگراف‌های مهم متمایز	اندازه مجموعه مخرب	خانواده بدافزار
۱/۰۰	۲۰	٪۰	٪۱۰۰	۱۵	۷۰	۲۴	Bagle
۰/۹۶	۳۰	٪۰	٪۱۰۰	۱۵	۷۸	۴۰	Virus
۱/۰۰	۲۰	٪۰	٪۱۰۰	۲۶	۷۰	۳۰	Fesber
۰/۹۰	۲۰	٪۰	٪۱۰۰	۱۹	۷۹	۳۰	Delf
۰/۸۶	۳۰	٪۰	٪۱۰۰	۲۶	۸۵	۴۰	PoisonIvy
۰/۹۴	۱۱۰	٪۰	٪۱۰۰	۱۰۱	۳۸۲	۱۶۴	مجموع میانگین



آشنا است، با دقت بهتری انتخاب شود، اما به‌هرحال ما در ارزیابی‌ها، k را برابر با ۲۰ درصد از اندازه مجموعه زیرگراف‌های مهم انتخاب کرده‌ایم.

#### • میزان دقت در کشف بدافزار

به‌منظور ارزیابی دقت الگوهای رفتاری مخرب استخراج شده، به ازای هر خانواده یک مجموعه آزمون شامل تعدادی بدافزار در نظر گرفته شده است. این تعداد در ستون هفتم جدول (۳) مشخص شده است. نتایج حاصل از میزان دقت الگوهای رفتاری مخرب در شناسایی این مجموعه آزمون در ستون هشتم این جدول نشان داده شده است. همان‌طور که مشاهده می‌کنید، ما توانسته‌ایم بدافزارهای دو خانواده Bagle و Fesber را با دقت کامل ۱۰۰٪ شناسایی کنیم. اما در مابقی خانواده موفق به شناسایی تعداد اندکی از بدافزارهای مجموعه آزمون نشده‌ایم. به‌طور کلی، راه‌کار ما توانسته است الگوهای رفتاری مخرب متمایزکننده موجود در هر خانواده بدافزار که قابلیت تمیز دادن برنامه‌های مخرب از برنامه‌های سالم را دارند، را استخراج کند و

انتخاب k: همان‌طور که پیش از این نیز مطرح شده است، با توجه به اینکه هر خانواده بدافزار گستره عملکردی کاملاً متفاوتی نسبت به یکدیگر دارند، انتخاب یک k یکسان برای همه خانواده‌ها دشوار است. در واقع، تعیین این که تا چه میزان دقت می‌توان پنداشت که یک الگو شامل یک نیت مخرب است، یک چالش بزرگ در کار ما است. مثلاً در ارزیابی‌های صورت گرفته، مشاهده شده است که انتخاب حتی عددی بیشتر از ۲۰٪ از زیرگراف‌ها برای خانواده Bagle و Fesber نیز می‌تواند همچنان شامل زیرگراف‌های با گرایش مخرب باشد؛ به طوری که برای تمام ۲۶ زیرگراف استخراج شده، نرخ فراوانی مجموعه مخرب ۱۰۰٪ و نرخ فراوانی مجموعه سالم ۰٪ است. برای خانواده Bagle نیز حتی آخرین الگوهای استخراج شده دارای نرخ فراوانی مخرب نزدیک به ۸۰٪ و نرخ فراوانی سالم آن‌ها ۰ است؛ و بالعکس در خانواده Delf مشاهده شده است که انتخاب ۲۰٪ از زیرگراف‌ها، تقریباً زیاد است و منجر به تعیین زیرگراف‌های می‌شود که از میزان دقت کافی برخوردار نیستند. اساساً تعیین k می‌تواند توسط شخص تحلیلگر، که به ویژگی‌های عملکردی هر خانواده

استخراج‌شده به ازای خانواده Bagle را در جدول (۴)، ارائه کرده‌ایم. این جدول شامل ۲۰٪ برتر از زیرگراف‌های مهم، بر اساس امتیازدهی تابع آزمون H است. برای این خانواده یک مجموعه آزمون که شامل ۲۰ بدافزار جدید از این خانواده است، ایجاد شده است و دقت هر زیرگراف براساس میزان پوششی که این زیرگراف در مجموعه آزمون ایجاد کرده است، محاسبه شده است. همان‌طور که مشاهده می‌کنید، حتی آخرین الگوهای رفتاری مخرب استخراج شده برای خانواده Bagle، نیز از دقت قابل قبولی در شناسایی بدافزارهای مجموعه Bagle، با نرخ خطای کاذب صفر برای ۷۰ برنامه متنوع سالم، برخوردار هستند.

### ۶- محدودیت‌ها و کارهای آتی

اگرچه که ما توانسته‌ایم به ازای هر یک از خانواده بدافزارهای ارزیابی‌شده الگوهای را استخراج کنیم که قابلیت تمیز دادن مجموعه مخرب از مجموعه برنامه‌های سالم را دارند ولی

جدول (۴). دقت الگوهای رفتاری مخرب استخراج‌شده برای خانواده Bagle با مجموعه آزمون شامل ۲۰ بدافزار

ردیف	نرخ فراوانی مخرب	نرخ فراوانی سالم (خطای کاذب)	نرخ فراوانی در مجموعه آزمون (میزان دقت)
۱	٪۱۰۰	٪۰	٪۱۰۰
۲	٪۱۰۰	٪۰	٪۱۰۰
۳	٪۱۰۰	٪۰	٪۱۰۰
۴	٪۱۰۰	٪۰	٪۱۰۰
۵	٪۱۰۰	٪۰	٪۱۰۰
۶	٪۱۰۰	٪۰	٪۱۰۰
۷	٪۱۰۰	٪۰	٪۱۰۰
۸	٪۱۰۰	٪۰	٪۱۰۰
۹	٪۹۵/۸۳	٪۰	٪۱۰۰
۱۰	٪۷۵	٪۰	٪۸۰
۱۱	٪۷۵	٪۰	٪۸۰
۱۲	٪۷۵	٪۰	٪۸۰
۱۳	٪۷۵	٪۰	٪۸۰
۱۴	٪۷۵	٪۰	٪۸۰
۱۵	٪۷۵	٪۰	٪۸۰

نتوانسته‌ایم آن‌ها را به‌عنوان نقش‌های معنادار مخرب به‌گونه‌ای توصیف کنیم که برای شخص تحلیل‌گر نیز به‌خوبی قابل فهم باشند. در واقع به نظر می‌رسد که نیاز به انجام یک تحلیل معنایی پیچیده بر روی الگوهای مخرب استخراج شده به‌ازای هر خانواده بدافزار وجود دارد تا بتوانیم نقش‌های<sup>۲</sup> مخرب موجود در

به‌دقت ۹۴٪ در شناسایی بدافزارهای ناشناخته با نرخ خطای کاذب صفر دست یابد که در مقایسه با نرخ کشف ۵۵٪ در ضد بدافزارهای تجاری مبتنی بر امضاء، نرخ کشف ۶۴٪ در کشف‌کننده رفتاری ارائه شده توسط Kolbitsch و همکاران [۱۳] و همچنین نرخ کشف ۸۶٪ در بهترین کشف‌کننده رفتاری ارائه شده تاکنون (Fredrikson و همکاران [۱۴])، توانسته‌ایم به یک بهبود قابل توجهی دست یابیم.

### • مقایسه با رفتارهای گزارش‌شده توسط ضد-بدافزارهای تجاری

به‌منظور مقایسه الگوهای رفتاری استخراج‌شده توسط روش پیشنهادی با رفتارهای مخرب گزارش‌شده توسط تحلیل‌گرهای حرفه‌ای، از گزارش‌های ارائه شده توسط دو ضد-بدافزار تجاری کسپرسکی [۲۲] و F-Secure [۲۳] استفاده شده است. بر طبق این گزارش‌ها، تقریباً اکثر الگوهای رفتاری استخراج شده توسط روش پیشنهادی، دقیقاً با توصیف ارائه‌شده برای آن خانواده همخوانی داشته است. بر طبق گزارش ارائه‌شده توسط F-Secure برای خانواده PoisonIvy، برخی از بدافزارهای این دسته پیش از ایجاد یک اتصال خارجی، اقدام به تزریق کد بدخواه خود به داخل مرورگرها برای دور زدن دیواره آتش<sup>۱</sup> ویندوز می‌کنند. زیرگراف مربوط به این رفتار به‌درستی در تقریباً در نیمی از مجموعه بدافزارهای خانواده PoisonIvy دیده شده است. به‌طوری که عمل تزریق کد بدخواه خود را به داخل مرورگر ixplore.exe انجام داده‌اند.

برای خانواده Bagle، اولین یا برترین زیرگراف مخرب استخراج‌شده، رفتار مربوط به نحوه تکثیر یک بدافزار از نوع کرم را نشان می‌دهد. همان‌طور که در الگوی رفتاری مخرب شکل (۴) نیز قابل مشاهده است، بدافزارهای مربوط به خانواده Bagle ابتدا به‌وسیله تابع NtOpenFile، فایل اجرایی نسخه اصلی خودش را از روی دیسک باز کرده و به‌وسیله تابع NtCreateSection، تمام قسمت کد خود را به داخل حافظه منتقل می‌کند. در واقع با این کار قادر خواهد بود که از این پس اجرای خودش را از داخل حافظه دنبال می‌کند. بارها دیده شده است که بدافزارها، پس از ایجاد یک نسخه از خود در حافظه، به‌سرعت فایل اجرایی خود را از روی دیسک، به‌منظور مخفی ماندن هر چه بیشتر، حذف کرده‌اند. در ادامه اجرای خود، اقدام با ایجاد یک اتصال به بیرون از سیستم کرده است (تابع NtConnectPort) تا به این صورت فایل ایجاد شده از خودش را که اکنون در حافظه قرار دارد، به بیرون از سیستم انتشار دهد.

### • ارزیابی دقت الگوهای رفتاری مخرب

در این قسمت، به‌عنوان نمونه مشخصات دقیق زیرگراف‌های

- [8] C. Kruegel, W. Robertson, and G. Vigna, "Detecting Kernel-Level Rootkits Through Binary Analysis," 20th Annual Conference on Computer Security Applications, Tucson, 2004.
- [9] M. Andreas, C. Kruegel, and E. Kirda, "Limits of Static Analysis for Malware Detection," 23th Annual Conference on Computer Security Applications, Miami Beach, 2007.
- [10] M. Suenaga, "A Museum of API Obfuscation on Win32," Proceedings of 12th Association of Anti-Virus Asia Researchers International Conference, Kyoto, 2009.
- [11] S. Motevasel, H. Shirazi, and M. Farshchieyan, "Providing an efficient system for malware detection and classification," 1<sup>st</sup> National E-Conference of Technology Departments on Electrical, Electronics and Computer Engineering, Khayyam University, Mashhad, 2014.
- [12] M. Lajevardi, S. Parsa, and M. Kangavari, "The design and implementation of a behavioral based malware detection," Master of Thesis in Computer Engineering School, Iran University of Science and Technology, Tehran, 2013.
- [13] C. Kolbitsch and P. M. Comparetti, "Effective and Efficient Malware Detection at the End Host," USENIX security symposium, San Diego, 2009.
- [14] J. Somesh, M. Fredrikson, and M. Christodore, "Synthesizing near-optimal malware specifications from suspicious behaviors," 8th International Conference on Malicious and Unwanted Software: The Americas (MALWARE), Fajardo, 2013.
- [15] M. Bailey, J. Oberheide, J. Andersen, Z. M. Morley, F. Jahanian, and J. Nazario, "Automated Classification and Analysis of Internet Malware," International Workshop on Recent Advances in Intrusion Detection, Gold Coast, 2007.
- [16] K. Rieck, T. Holz, C. Willems, P. Düssel, and P. Laskov, "Learning and Classification of Malware Behavior," International Conference on Detection of Intrusions and Malware, and Vulnerability Assessment, Paris, 2008.
- [17] J. Kinable and O. Kostakis, "Malware classification based on call graph clustering," Computer Virology, vol. 7, no. 4, pp. 233-245, 2011.
- [18] Y. Park, D. Reeves, V. Mulukutla, and B. Sundaravel, "Fast malware classification by automated behavioral graph matching," Proceedings of the Sixth Annual Workshop on Cyber Security and Information Intelligence Research, New York, 2010.
- [19] S. Ranu and A. Singh, "Graphsig: A scalable approach to mining significant subgraphs in large graph databases," IEEE International Conference on Data Engineering, Shanghai, 2009.
- [20] R. Sokal and F. J. Rohlf, "Biometry: the principles and practice of statistics in biological research," San Francisco, 1995.
- [21] C. Wueest, "Does malware still detect virtual machines?," Symantec Official Blog, 2014.
- [22] Kaspersky Lab, "Malware Classifications," Kaspersky, [Online]. Available: <http://www.kaspersky.com/internet-security-center/threats/malware-classifications>.
- [23] "Classification How F-Secure classifies threats," F-secure, [Online]. Available: [https://www.f-secure.com/en/web/labs\\_global/classification](https://www.f-secure.com/en/web/labs_global/classification).

یک خانواده را به شکلی توصیف کنیم که قابلیت فهم بیشتری داشته باشند. یکی از ملزومات پرداختن به این موضوع، در نظر گرفتن جزئیات بیشتر در دسترسی به منابع و اشیاء حساس موجود در سیستم عامل است. منابع حساس سیستم عامل شامل منابعی است که با امنیت، پایداری و کارایی سیستم عامل در ارتباط هستند. مدیر وظایف، راه اندازی سیستم، تنظیمات دیواره آتش و فایل های اجرایی مربوط به خود سیستم عامل، از جمله منابع خیلی حساس موجود در سیستم عامل ویندوز هستند که اکثر بدافزارها اقدام به دسترسی و دست کاری آنها می کنند. به این ترتیب با در نظر گرفتن دسترسی به منابع حساس در تشکیل گراف رفتار برنامه، به توصیف دقیق تری از فعالیت های مخرب دست خواهیم یافت.

## ۷- نتیجه گیری

نتایج ارزیابی های ما همواره نشان داده است که روش پیشنهادی توانسته است به ازای هر یک از خانواده های ارزیابی شده، تقریباً تمام رفتارهای مخرب شایع گزارش شده توسط ضد بدافزارهای تجاری را به درستی شناسایی کند. علاوه بر این در ارزیابی ها نشان داده شده است که برترین زیرگراف انتخاب شده به ازای هر یک از خانواده های Virut, Bagle, Fesber توانسته است، نرخ پوشش ۱۰۰٪ را برای مجموعه مخرب و آزمون ایجاد کنند. ما توانسته ایم به دقت ۹۴ درصدی در کشف بدافزار مبتنی بر رفتار دست یابیم که در مقایسه با کارهای مشابه (Kolbitsch [۱۳] با دقت ۶۲٪ و Fredrikson [۱۴] با دقت ۸۶٪) به یک دستاورد مهم دست یافته ایم.

## ۸- مراجع

- [1] C. Funk and M. Garnaeva, "Kaspersky Security Bulletin 2013," Kaspersky Lab, 2013.
- [2] C. Fred, "Computer viruses: Theory and experiments," Computers & Security, vol. 6, no. 1, pp. 22-35, 1987.
- [3] V. Nair, H. Jain, and Y. Golecha, "MEDUSA: METamorphic malware dynamic analysis using signature from API," Proceedings of the 3rd international conference on Security of information and networks, ACM, 2010.
- [4] P. O'Kane, S. Sezer, and K. McLaughlin, "Obfuscation: The Hidden Malware," IEEE Symposium on Security & Privacy, Oakland, 2011.
- [5] P. Szor, "The art of computer virus research and defense," Pearson Education, 2005.
- [6] M. Egele, T. Scholte, E. Kirda, and C. Kruegle, "A survey on automated dynamic malware-analysis techniques and tools," CSUR, vol. 44, no. 2, pp. 1-42, 2012.
- [7] C. Mihai, S. Seshia, and J. Somesh, "Semantics-aware malware detection," IEEE Symposium on Security and Privacy, Oakland, 2005.

## ۹- پیوست

اسامی ۴۲ تابع رهگیری شده توسط راه‌انداز ProcessHooking.sys به همراه آرگومان‌های مورد استفاده در تشکیل گراف وابستگی

نام تابع	آرگومان‌های مهم	نام تابع	آرگومان‌های مهم
<b>NtTerminateProcess</b>	handle[in]	<b>NtFsControlFile</b>	handle[in]
<b>NtLoadDriver</b>	-	<b>NtMakeTemporaryObject</b>	handle[in]
<b>NtOpenProcess</b>	handle[out], pclient_id[in]	<b>NtOpenSection</b>	handle[out]
<b>NtOpenFile</b>	handle[out]	<b>NtProtectVirtualMemory</b>	handle[in], pvoid[in]
<b>NtCreateFile</b>	handle[out], pvoid[in]	<b>NtOpenThread</b>	handle[out], pclient_id[in]
<b>NtOpenKey</b>	handle[out]	<b>NtQueueApcThread</b>	handle[in]
<b>NtClose</b>	handle[in]	<b>NtReplaceKey</b>	handle[in]
<b>NtCreateProcess</b>	handle[out], handle[in], handle[in], handle[in], handle[in]	<b>NtRequestPort</b>	handle[in]
<b>NtCreateProcessEx</b>	handle[out], handle[in], handle[in], handle[in], handle[in]	<b>NtRequestWaitReplyPort</b>	handle[in]
<b>NtCreateThread</b>	handle[out], handle[in], pclient_id[out], pvoid[in]	<b>NtRestoreKey</b>	handle[in], handle[in]
<b>NtCreateThreadEx</b>	handle[out], handle[in], pvoid[in]	<b>NtSecureConnectPort</b>	handle[out]
<b>NtAllocateVirtualMemory</b>	handle[in], pvoid[out]	<b>NtSetContextThread</b>	handle[in]
<b>NtAlpcCreatePort</b>	handle[out]	<b>NtSetSecurityObject</b>	handle[in]
<b>NtAlpcConnectPort</b>	handle[out]	<b>NtSetSystemInformation</b>	-
<b>NtAlpcSendWaitReceivePort</b>	handle[in]	<b>NtShutdownSystem</b>	-
<b>NtAssignProcessToJobObject</b>	handle[in], handle[in]	<b>NtSuspendProcess</b>	handle[in]
<b>NtConnectPort</b>	handle[out]	<b>NtSuspendThread</b>	handle[in]
<b>NtCreateKey</b>	handle[out]	<b>NtSystemDebugControl</b>	pvoid[in], pvoid[out]
<b>NtCreateSection</b>	handle[out], handle[in]	<b>NtTerminateThread</b>	handle[in]
<b>NtDeviceIoControlFile</b>	handle[in], handle[in], pvoid[in], pvoid[out]	<b>NtUnloadDriver</b>	-
<b>NtDuplicateObject</b>	handle[in], handle[in], handle[in], handle[out]	<b>NtWriteVirtualMemory</b>	handle[in], pvoid[in], pvoid[in]

---

## Providing a New Approach to Discovering Malware Behavioral Patterns Based on the Dependency Graph Between System Calls

S. Parsa\*, H. Saifi, M. H. Alaeian

\*Iran University of Science and Technology

(Received: 13/02/2016, Accepted: 01/08/2016)

### ABSTRACT

*Most malware producers use obfuscation techniques to bypass signature-based detections. In order to provide proactive and real-time protection, the researchers have begun to develop strategies for behavior-based detection. While behavior-based detection techniques are promising solutions to this growing problem of malwares varieties, but they still suffer from high false positive rate in detecting unknown malware detection. To overcome this problem, we shall seek for identifying patterns, representing malicious intent in all instances of a malware family. In this paper, we propose a new technique, based on discriminative subgraph mining technique to identify discriminative behavioral patterns. The malicious behavioral patterns discovered by our technique from a known malware set allows the detector to reach an 94% detection rate over unknown malware with no false positives. This is a significant improvement over the 55% detection rate observed from commercial antivirus, and the 86% rate reported by the best behavior-based detector.*

**Keywords:** Behavior Graph, System Call Dependency Graph, Malicious Behavioral Pattern, Discriminative Subgraphs, Significant Subgraph Mining

---

\* Corresponding Author Email: [parsa@iust.ac.ir](mailto:parsa@iust.ac.ir)